

## Número bártónico

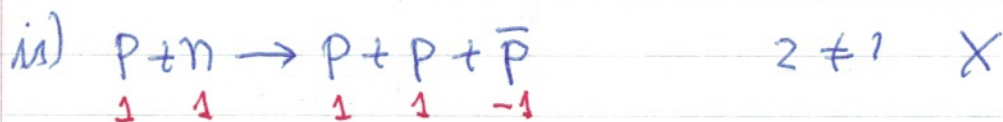
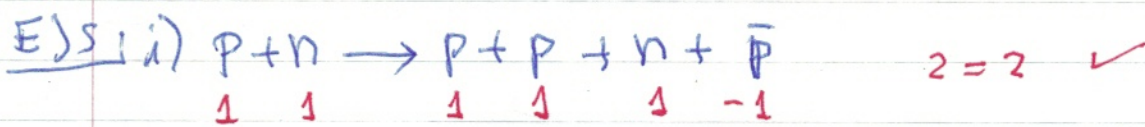
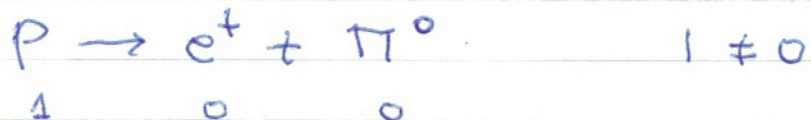
Se asigna  $B = +1$  a todos los báriones

$B = -1$  a todos los anti-báriones

$B = 0$  todo el resto

"Durante una reacción nuclear o decaimiento, la suma de los  $\Delta B$  bártonicos antes y después del proceso debe ser el mismo"

Consecuencia: estabilidad del protón



ojo;  
protón  
necesita  
suficiente  
energía

## Número leptónico

↳ 3 leyes de conservación para cada variedad de lepton

## Número bártónico

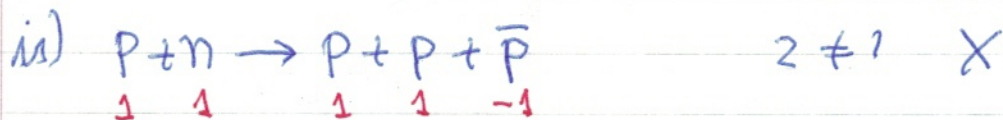
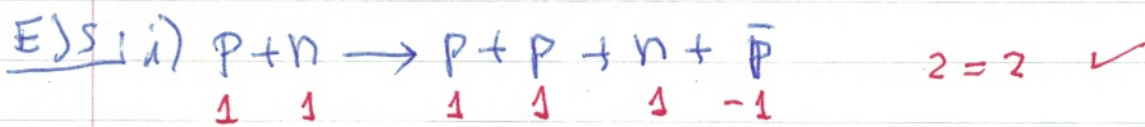
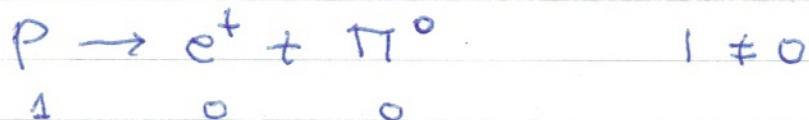
Se asigna  $B = +1$  a todos los báriones

$B = -1$  a todos los anti-báriones

$B = 0$  todo el resto

"Durante una reacción nuclear o decaimiento, la suma de los  $\Delta B$  bártonicos antes y después del proceso debe ser el mismo"

Consecuencia: estabilidad del protón

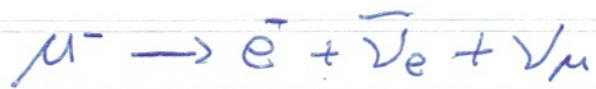


ojo;  
protón  
necesita  
suficiente  
energía

## Número leptónico

↳ 3 leyes de conservación para cada variedad de lepton

Ejemplo

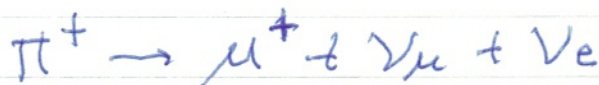


Como están involucrados un muón y un  $\bar{e}$ ,  
 $L_\mu$  y  $L_e$  deben conservarse.

$$L_\mu: 1 \rightarrow 0 + 0 + 1 \quad 1 = 1 \quad \checkmark$$

$$L_e: 0 \rightarrow 1 - 1 + 0 \quad 0 = 0 \quad \checkmark$$

∴ El decaimiento es posible



$$L_e: 0 \rightarrow 0 + 0 + 1 \quad 0 = 1 \quad \times$$

$$L_\mu: 0 \rightarrow -1 + 1 + 0 \quad 0 = 0 \quad \checkmark$$

decaim. no es posible .

## Partículas extrañas y extrañeza

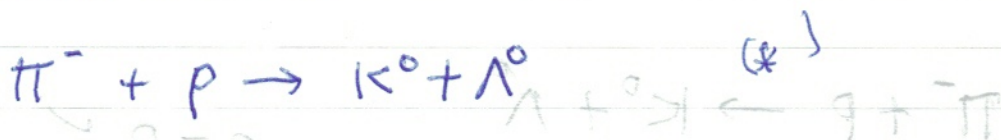
1950: Interac. de  $\pi$  con  $p$  y  $n$  en la atmósfera

→ 3 partículas inusuales.

KAON ( $K$ ): lambda ( $\Lambda$ ) y sigma ( $\Sigma$ )

//extraños)

(i) cuando  $\pi$  choca con un  $p$ , casi siempre se producen 2 partíc. extrañas neutrales.

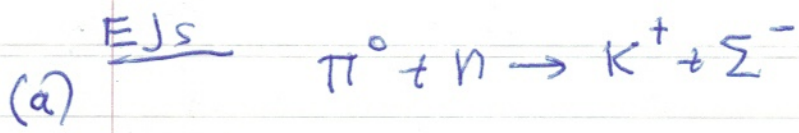


(ii) La reacción  $\pi^- + p \rightarrow K^0 + n$  nunca se observó a pesar de ser posible.

(iii) A pesar de ser producidos por interacciones fuertes, decaden muy lentamente,  $10^{-10} - 10^{-8}$  s en comparación con  $10^{-20}$  típicos.

Se inventó una ley de conservación de la extrañeza, con un nuevo  $\frac{1}{2}$  cuántico  $s$

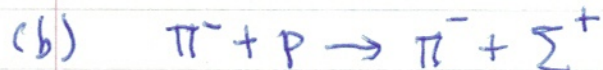
La producción de partíc. extraños en pares se explica asignando  $s = +1$  a uno de los partículas y  $s = -1$  a la otra (\*). Los partículas No-extraños poseen  $s = 0$



left:  $S = 0 + 0 = 0$

right:  $S = 1 - 1 = 0$

∴ se conserva S y la reacción es permitida.



left:  $S = 0 + 0 = 0$

final  $S = 0 + (+1) = +1$

NO se conserve S.

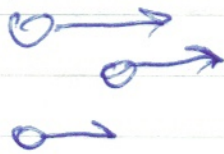


### Midiendo los partículas elementales

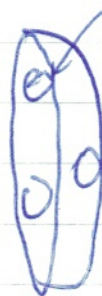
que número, variedad de masas, tiempo de vida q' pueden ser muy cortos.

¿Cómo se miden las masas y los t. de vida?

usual producción



electrones, protones  
(larga vida)



H (simple y estable)

frente de aceleración  
electromagnética

## Cámaras de burbujas

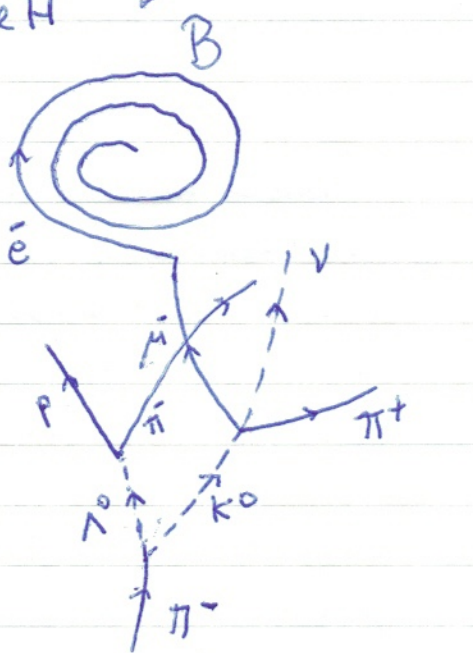
H cerca de su  
pto. de ebullición

partic.

congote

ioniza los átomos  
en su trayectoria

↓  
Condensación de  
burbujas diminutas de H



Invented by Donald A. Glaser en 1952

Nobel en 1960

Inspirado por burbujas en un vaso de cerveza

Medición: a partir de la curvatura medida, la carga y  $\vec{p}$  se pueden determinar. Si  $m$  y  $\vec{p}$  de lo p. incidente son conocidos, es posible calc. los masas, energías cinéticas y velocidades, a partir de la c. de energía y momento.

$$d = \sqrt{t} \rightarrow \begin{array}{l} \text{tiempo} \\ \downarrow \quad \downarrow \\ \text{tamaño} \quad \text{veloc} \\ \text{trazo} \end{array} \begin{array}{l} + \text{efectos} \\ \text{relativistas} \\ \text{partícula} \end{array}$$

### Partícula de resonancia

Es posible medir  $d \approx 10^{-6} \text{ m}$ , y  $t \approx 10^{-16} \text{ s}$

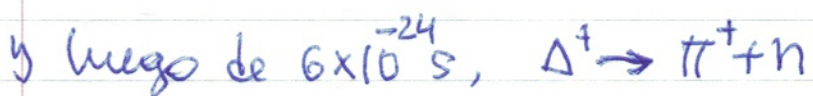
Si  $d = 10^{-6} \text{ m}$  en el lab, a  $0.99c$ ,

$$\Rightarrow \tau_{\text{lab}} = 10^{-6} \text{ m} / 0.99c = 0.33 \times 10^{-14} \text{ s}$$

$$\text{Pero } \tau_{\text{propio}} = \frac{\tau_{\text{lab}}}{\gamma} = \tau_{\text{lab}} \sqrt{1 - \frac{v^2}{c^2}} = 4 \times 10^{-16} \text{ s}$$

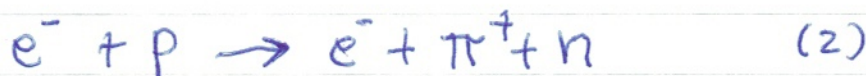
Pero falta mucho para llegar a medir vidas de hadrones de  $10^{23} \text{ s}$ .  
 ↗ "partículas resonantes"

Ejemplo: detectando  $\Delta^+$  ( $m = 123 \text{ Mev}/c^2$ )  
( $\tau = 6 \times 10^{-24} \text{ s}$ )

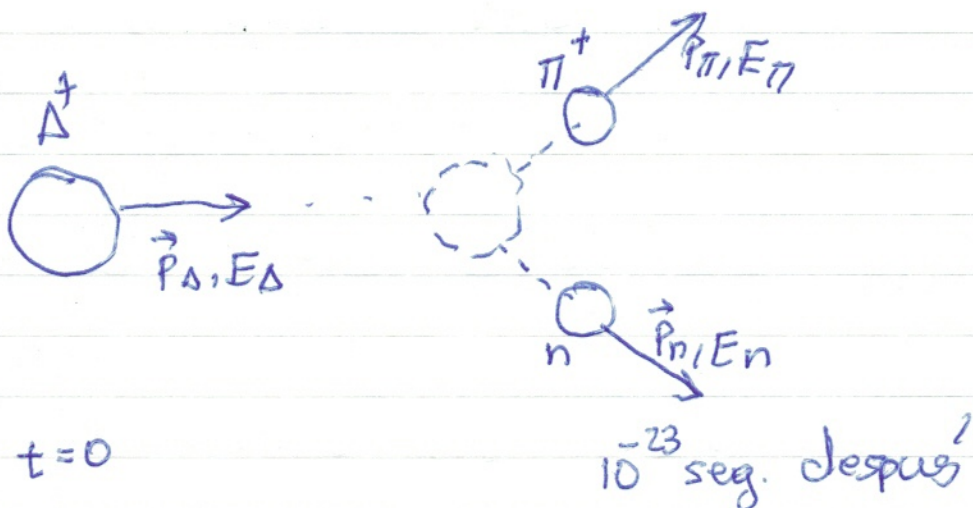


} (1)

Como  $\tau \ll 1$ , es casi imposible distinguir (1) de



Una manera de ver q' el  $\Delta^+$  "estuvo allí" es midiendo  $E$  y  $\vec{p}$  de los prod. del decoamiento (pion y n) y mediante cons. de  $E$  y  $\vec{p}$  det. si estos valores arrojan un  $\Delta^+$  con  $m = 123 \text{ Mev}/c^2$



$$E_{\Delta}^2 = (P_{\Delta}c)^2 + (m_{\Delta}c^2)^2$$

$$\Rightarrow m_{\Delta}c^2 = \sqrt{E_{\Delta}^2 - (P_{\Delta}c)^2}$$

$E_{\Delta}, P_{\Delta}$  no pueden medirse directamente.

Por otro lado,  $E_{\Delta} = E_{\pi} + E_{\eta}$

$$\vec{P}_{\Delta} = \vec{P}_{\pi} + \vec{P}_{\eta}$$

$$\Rightarrow m_{\Delta}c^2 = \sqrt{(E_{\pi} + E_{\eta})^2 - (\vec{P}_{\pi} + \vec{P}_{\eta})^2 c^2} \quad (*)$$

Válido para todos los casos en q  $\Delta^+$  estuvo presente



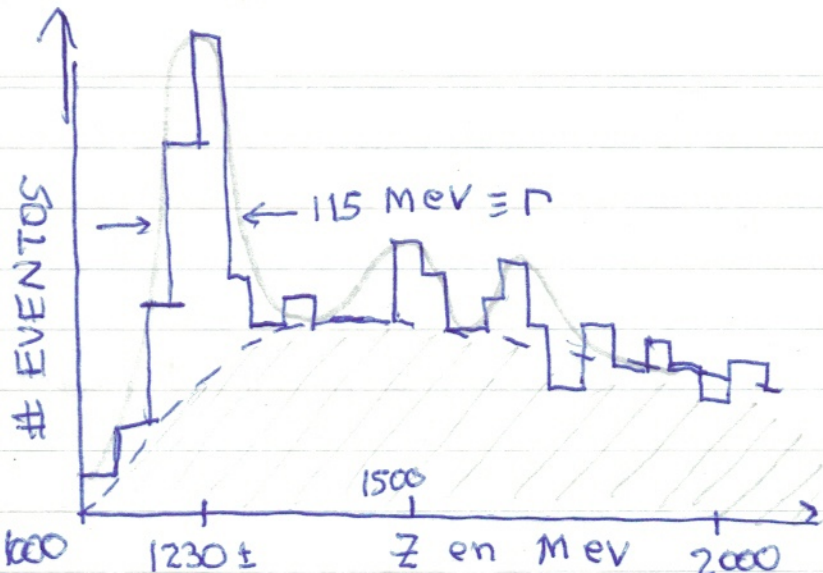
Para muchas mediciones de  $E_{\pi}, \vec{P}_{\pi}, E_{\eta}$  y  $\vec{P}_{\eta}$  debieron siempre hallar el mismo valor  $m_{\Delta}c^2 = 1231$  MeV dentro del error experimental.

Si NO hubo  $\Delta^+$  (Ec.(2)), la cantidad (\*) tomaría un amplio rango de valores, menores y mayores que  $m_{\Delta}c^2$ , o medice q se repite el experimento.

Entonces para dem. lo Z de la partícula resonante se calcule

$$Z = [(E_{\pi} + E_{\eta})^2 - (\vec{P}_{\pi} + \vec{P}_{\eta})^2 c^2]^{1/2} \quad \text{para q sea el n. de eventos}$$

y haciendo un histograma.



$\Rightarrow$  FWHM

duración de  $\Delta^+$ : ancho resonancia  $= \Gamma = 2\Delta E$

$$\Delta E \Delta t \approx \hbar/2 \Rightarrow \Delta t \approx \frac{\hbar}{2\Delta E} = \frac{\hbar}{\Gamma} = \frac{6.6 \times 10^{-16} \text{ ev.s}}{115 \times 10^6 \text{ ev}} = 5.7 \times 10^{-24} \text{ s}$$

durante este tiempo,  $\Delta^+$  recorrerá  $10^{15}$  m viéndolo  
a la veloc. de la luz

$\downarrow$   
1 diámetro nuclear.

Energía umbral para producción de nuevos  
partículas durante una colisión

